

Расщепление внутренних состояний конечных автоматов для минимизации потребляемой мощности

В.В. Соловьев, Т.Н. Гресь

Белостокский технологический университет (Польша), valsol@mail.ru

Аннотация — Рассмотрен метод минимизации энергопотребления конечных автоматов путем расщепления внутренних состояний. Предложены два эвристических алгоритма уменьшения энергопотребления конечных автоматов за счет расщепления внутренних состояний с большой и малой вычислительной сложностью, которые оказались близкими по эффективности. Результаты экспериментальных исследований показали, что предложенный подход позволяет снизить энергопотребление конечных автоматов в 73% случаев, при этом уменьшение потребляемой мощности составляет, в среднем, 7,25%, а для отдельных примеров – 81%.

Ключевые слова — конечный автомат, потребляемая мощность, энергопотребление, расщепление внутренних состояний.

I. ВВЕДЕНИЕ

Широкое распространение переносных и бортовых цифровых систем предъявляет очень жесткие требования к энергопотреблению (потребляемой мощности) разрабатываемых проектов. В общем случае цифровую систему можно представить как совокупность взаимодействующих между собой комбинационных схем и конечных автоматов, поэтому одним из путей решения указанной проблемы является минимизация потребляемой мощности конечных автоматов.

Известно много различных подходов для снижения потребляемой мощности конечных автоматов: путем кодирования внутренних состояний [1]-[5], декомпозиции конечного автомата [6], стробирования синхросигнала [7], выбора типов триггеров элементов памяти [8], изменения числа разрядов кода внутренних состояний [9], использования специальных структурных моделей конечных автоматов [10] и др.

В настоящей работе для уменьшения энергопотребления конечных автоматов предлагается использовать операцию расщепления внутренних состояний.

II. ОПРЕДЕЛЕНИЕ ЭНЕРГОПОТРЕБЛЕНИЯ КОНЕЧНОГО АВТОМАТА

Пусть $A = \{a_1, \dots, a_M\}$ – множество внутренних состояний конечного автомата, $X = \{x_1, \dots, x_L\}$ – множество входных переменных, $Y = \{y_1, \dots, y_N\}$ – множество выходных переменных, $D = \{d_1, \dots, d_R\}$ – множество

функций возбуждения элементов памяти, где R – число элементов памяти (число разрядов кодов внутренних состояний), $R \in [\text{intlog}_2 M, M]$.

Для определения энергопотребления конечного автомата воспользуемся методикой работы [11], которая позволяет определить динамическую мощность конечного автомата на основании результатов кодирования внутренних состояний и вероятности появления единицы (нуля) на каждом входе конечного автомата.

Значение потребляемой мощности конечного автомата определяется из выражения:

$$P = \sum_{r=1}^R P_r = \frac{1}{2} \times V_{DD}^2 \times f \times C \times \sum_{r=1}^R N_r, \quad (1)$$

где P_r – мощность, потребляемая триггером r ; V_{DD} – величина напряжения питания; f – частота функционирования конечного автомата; C – ёмкость выхода каждого триггера; N_r – переключательная активность триггера r , $r = \overline{1, R}$.

Пусть k_i – некоторый бинарный код состояния $a_i \in A$. Обозначим через k_i^r значение бита r в коде k_i состояния a_i , $r = \overline{1, R}$. Тогда активность N_r переключения триггера r памяти конечного автомата можно выразить следующим образом:

$$N_r = \sum_{m=1}^M \sum_{s=1}^M P(a_m \rightarrow a_s) \times (k_m^r \oplus k_s^r), \quad (2)$$

где $P(a_m \rightarrow a_s)$ – вероятность перехода конечного автомата из состояния a_m в состояние a_s ($a_m, a_s \in A$); \oplus – логическая операция Исключающее ИЛИ.

Вероятность $P(a_m \rightarrow a_s)$ перехода конечного автомата из состояния a_m в состояние a_s ($a_m, a_s \in A$) определяется выражением:

$$P(a_m \rightarrow a_s) = P(a_m) \times P(X(a_m, a_s)), \quad (3)$$

где $P(a_m)$ – вероятность нахождения конечного автомата в состоянии a_m ; $P(X(a_m, a_s))$ – вероятность появления на входе конечного автомата входного вектора $X(a_m, a_s)$, который инициирует переход из состояния a_m в состояние a_s .

Вероятность $P(X(a_m, a_s))$ появления на входе конечного автомата входного вектора $X(a_m, a_s)$ определяется из выражения:

$$P(X(a_m, a_s)) = \prod_{b=1}^L P(x_b = d), \quad (4)$$

где $d \in \{0, 1, \cdot, \cdot\}$; $P(x_b = d)$ – вероятность того, что входная переменная x_b во входном векторе $X(a_m, a_s)$ примет значение d . В данной работе принято, что вероятность появления 0 или 1 на каждом входе конечного автомата одинакова, поэтому $P(x_b = 0) = P(x_b = 1) = 0,5$, а $P(x_b = \cdot) = 1$.

Вероятность $P(a_i)$ нахождения конечного автомата в каждом состоянии a_i , $i = \overline{1, M}$ можно определить в результате решения следующей системы уравнений:

$$P(a_i) = \sum_{m=1}^M P(a_m) \times P(X(a_m, a_s)), i = \overline{1, M}. \quad (5)$$

В случае, когда переход между состояниями a_m и a_i отсутствует, принимается $P(X(a_m, a_i)) = 0$. В случае же, когда из состояния a_m в состояние a_i ведут несколько переходов, значение $P(X(a_m, a_i))$ определяется как сумма вероятностей появления каждого входного вектора, который инициирует переход из состояния a_m в состояние a_i .

Система уравнений (5) представляет собой линейную систему M уравнений от M неизвестных $P(a_1), \dots, P(a_M)$, для решения которой может быть применен любой из известных методов, например, Гаусса. Поскольку конечный автомат всегда находится в одном из своих внутренних состояний, справедливым является следующее равенство:

$$\sum_{m=1}^M P(a_m) = 1. \quad (6)$$

Для решения системы уравнений (5) одно из уравнений в (5) заменяется равенством (6).

С учетом вышеизложенного алгоритм определения оценки энергопотребления (потребляемой мощности) конечного автомата выглядит следующим образом.

Алгоритм 1 (определения оценки энергопотребления).

1. Согласно (4) для каждого входного вектора $X(a_m, a_s)$ ($a_m, a_s \in A$) определяется вероятность $P(X(a_m, a_s))$ его появления на входе конечного автомата.
2. Решается система уравнений (5) для определения вероятностей $P(a_i)$ нахождения конечного автомата в каждом состоянии a_i , $a_i \in A$.
3. Согласно (3) определяются вероятности переходов $P(a_m \rightarrow a_s)$ конечного автомата, $a_m, a_s \in A$.
4. На основании результатов кодирования внутренних состояний согласно (2) определяется активность каждого триггера N_r , $r = \overline{1, R}$.
5. Согласно (1) вычисляется потребляемая мощность P конечного автомата для следующих значений

параметров: $VDD = 5V$, $f = 10MHz$ и $C = 5pF$ (типичные значения для большинства микросхем CMOS-технологии).

б. Конец.

III. СУТЬ ПРЕДЛАГАЕМОГО ПОДХОДА

В основу предлагаемого метода положена следующая гипотеза: расщепление внутренних состояний конечного автомата может приводить к снижению энергопотребления конечного автомата. На первый взгляд данное предположение может показаться абсурдным, поскольку в результате расщепления внутренних состояний увеличивается число внутренних состояний конечного автомата, что может привести даже к увеличению числа R разрядов, необходимых для кодирования внутренних состояний. Однако расщепление внутренних состояний позволяет уменьшить связанность состояний в графе автомата, что упрощает решение задачи кодирования внутренних состояний с целью минимизации энергопотребления.

Анализ выражения (2) показывает, что активность N_r некоторого триггера r , $r = \overline{1, R}$, может быть изменена как за счет уменьшения вероятностей переходов между состояниями $P(a_m \rightarrow a_s)$, $a_m, a_s \in A$, так и за счет уменьшения числа разрядов кода, по которым различаются коды состояний a_m и a_s .

Вначале проанализируем, как расщепление внутренних состояний влияет на вероятность $P(a_m \rightarrow a_s)$ перехода из состояния a_m в состояние a_s , $a_m, a_s \in A$. Значение вероятности $P(a_m \rightarrow a_s)$ определяется из выражения (3). Вероятность $P(X(a_m, a_s))$ появления на входе конечного автомата входного вектора $X(a_m, a_s)$ при расщеплении внутренних состояний не изменяется. Однако при расщеплении состояний будет увеличиваться общее число M состояний конечного автомата, а из выполнения равенства (6) следует, что при увеличении M вероятности $P(a_m)$ для отдельных состояний будут уменьшаться. С другой стороны, при увеличении числа состояний M будет увеличиваться число слагаемых в выражении (2), поэтому на уменьшение энергопотребления только за счет увеличения числа состояний M надеяться не приходится.

Теперь проанализируем, как расщепление внутренних состояний влияет на число разрядов, по которым различаются коды состояний a_m и a_s , $m, s = \overline{1, M}$. Пусть кодирование внутренних состояний конечного автомата осуществляется бинарными кодами с числом разрядов $R = \text{intlog}_2 M$. Общее число кодов, доступных для кодирования внутренних состояний, равно 2^R . На практике часто справедливым является неравенство $M < 2^R$, т.е. число возможных кодов больше, чем число внутренних состояний. При расщеплении некоторого состояния a_i , $a_i \in A$ уменьшается множество состояний $V(a_i)$, переходы из которых ведут в состояние a_i . В результате упрощается подбор кодов с целью минимизации потребляемой мощности для состояний, связанных с состоянием a_i , $a_i \in A$.

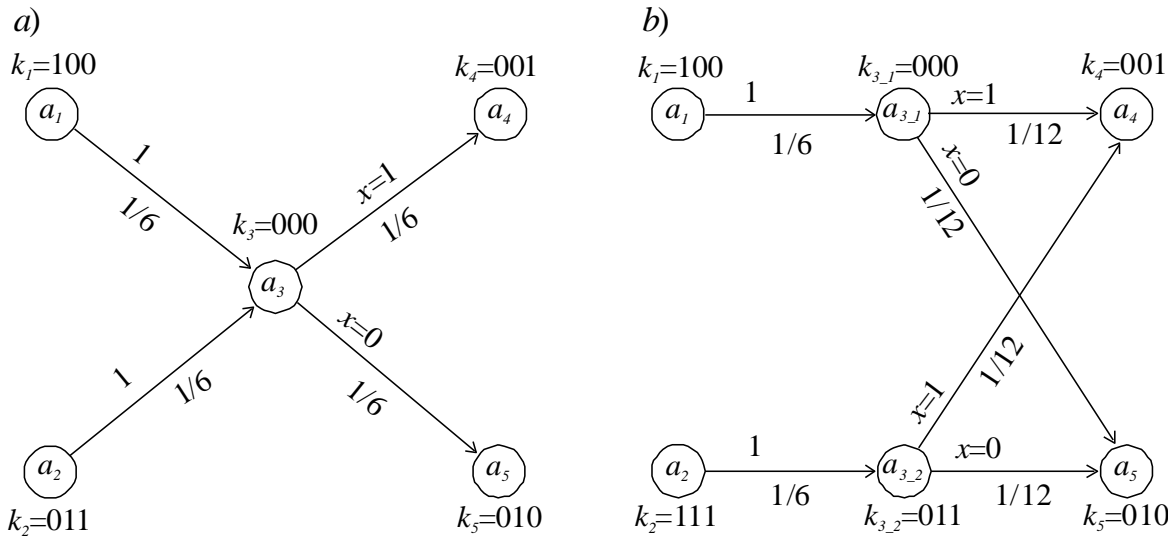


Рис. 1. Фрагмент графа автомата: *a* – до расщепления; *b* – после расщепления состояния a_3

Другими словами, в результате расщепления некоторого состояния a_i ($a_i \in A$) для переходов в состояние a_j и из состояния a_i с большими вероятностями вида $P(a_m \rightarrow a_i)$ и $P(a_i \rightarrow a_s)$ ($a_m, a_s \in A$) становится возможным подобрать коды, которые различаются по меньшему числу разрядов.

В случае, когда $M = 2^R$, расщепление внутренних состояний требует увеличения на единицу числа R разрядов кода, что приводит к увеличению в два раза числа доступных кодов для кодирования состояний. В результате значительно увеличиваются возможности алгоритмов кодирования внутренних состояний с целью уменьшения потребляемой мощности [5].

Таким образом, расщепление внутренних состояний может приводить к снижению потребляемой мощности как за счет уменьшения вероятности нахождения конечного автомата $P(a_m)$ для отдельных состояний, так и за счет уменьшения числа различных значений разрядов кода для состояний с большой вероятностью переходов $P(a_m \rightarrow a_s)$.

Пример. Рассмотрим фрагмент графа конечного автомата, показанный на рис. 1а.

Для данного фрагмента переходы из состояний a_1 и a_2 в состояние a_3 являются безусловными, т.е. $P(X(a_1, a_3)) = P(X(a_2, a_3)) = 1$. Переход из состояния a_3 в состояние a_4 осуществляется при значении входной переменной $x = 1$, а в состояние a_5 – при $x = 0$, т.е. $P(X(a_3, a_4)) = P(X(a_3, a_5)) = 0,5$. Пусть вероятности нахождения конечного автомата в состояниях a_1 и a_2 равны, т.е. $P(a_1) = P(a_2)$. Воспользовавшись указанными вероятностями переходов и равенством (6) можно решить систему уравнений (5). В результате получим следующие вероятности нахождения конечного автомата в состояниях a_1, \dots, a_5 : $P(a_1) = P(a_2) = P(a_4) = P(a_5) = 1/6$ и $P(a_3) = 1/3$. Согласно (3) определяются вероятности переходов между состояниями (на рис. 1а значения вероятностей переходов записаны под соответ-

ствующей дугой): $P(a_1 \rightarrow a_3) = P(a_2 \rightarrow a_3) = P(a_3 \rightarrow a_4) = P(a_3 \rightarrow a_5) = 1/6$. Пусть выполнено следующее кодирование внутренних состояний: $k_1=100, k_2=011, k_3=000, k_4=001, k_5=010$ (на рис. 1а коды внутренних состояний записаны рядом с состояниями). Отметим, что для данного фрагмента графа автомата при значениях $M=5$ и $R=3$ невозможно выполнить такое кодирование внутренних состояний, чтобы значения кодов различались не более чем в одном разряде. Приняв значение постоянного множителя $\frac{1}{2} \times V_{DD}^2 \times f \times C$ равным 1, на основании (2) и (1) значение потребляемой мощности P для данного фрагмента конечного автомата равно $5/6$.

Пусть выполнено расщепление состояния a_3 на два состояния $a_{3,1}$ и $a_{3,2}$, как показано на рис. 1б. Принимая соглашение $P(a_1) = P(a_2)$, решение системы уравнений (5) позволяет определить вероятности нахождения конечного автомата в каждом состоянии: $P(a_1) = P(a_2) = P(a_{3,1}) = P(a_{3,2}) = P(a_4) = P(a_5) = 1/6$. Согласно (3) определяются вероятности переходов между состояниями: $P(a_1 \rightarrow a_{3,1}) = P(a_2 \rightarrow a_{3,2}) = 1/6$; $P(a_{3,1} \rightarrow a_4) = P(a_{3,1} \rightarrow a_5) = P(a_{3,2} \rightarrow a_4) = P(a_{3,2} \rightarrow a_5) = 1/12$. В отличие от фрагмента на рис. 1а, преобразованный фрагмент графа конечного автомата на рис. 1б позволяет закодировать состояния таким образом, чтобы коды соседних состояний различались не более чем в одном разряде: $k_1=100, k_2=111, k_{3,1}=000, k_{3,2}=011, k_4=001, k_5=010$. Поэтому приняв значение постоянного множителя $\frac{1}{2} \times V_{DD}^2 \times f \times C$ равным 1, на основании (2) и (1) значение потребляемой мощности P для данного фрагмента конечного автомата равно $4/6$. Таким образом, расщепление состояния a_3 на два состояния $a_{3,1}$ и $a_{3,2}$ привело к уменьшению потребляемой мощности для данного фрагмента конечного автомата на 20%.

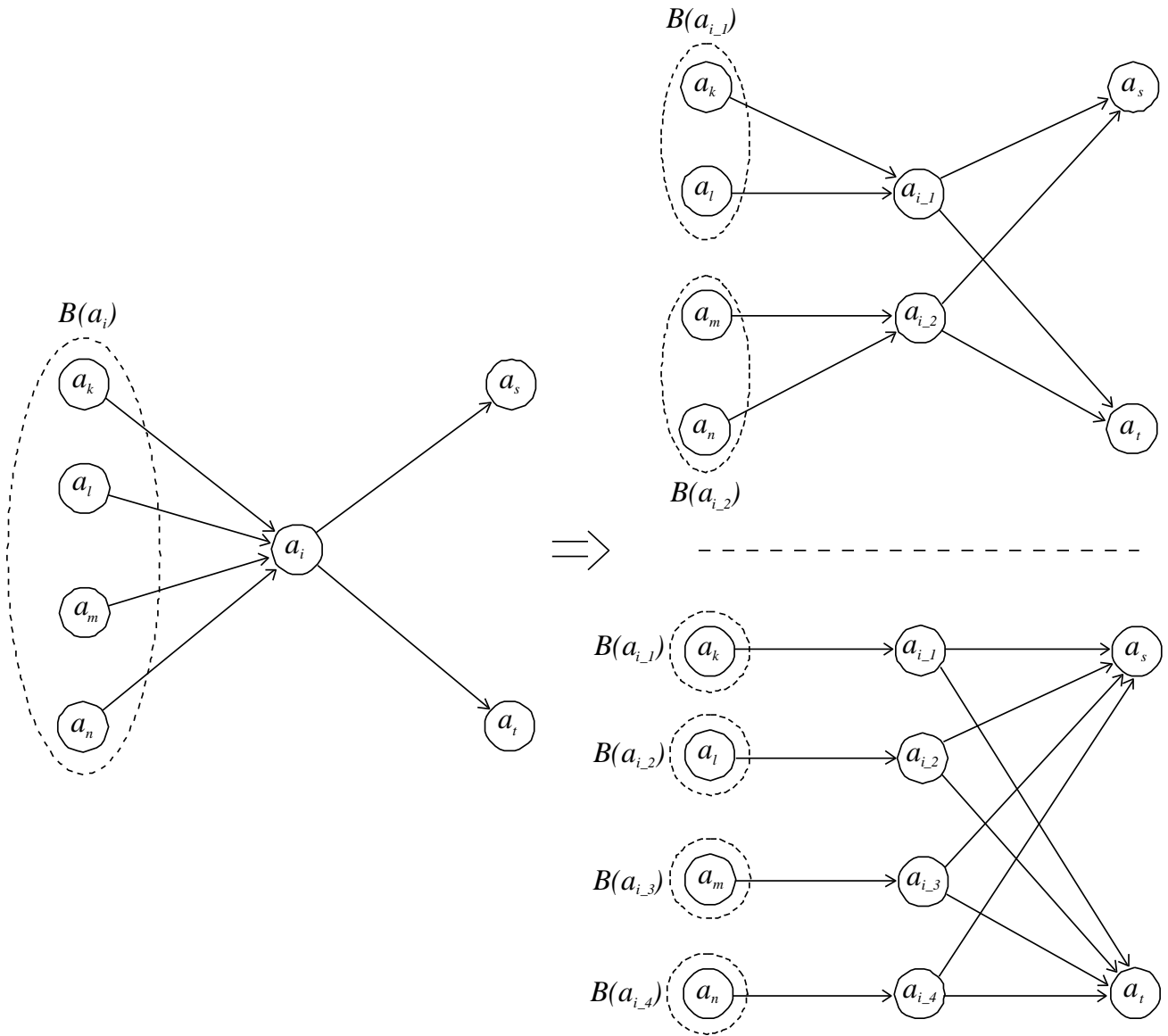


Рис. 2. Возможные варианты расщепления состояния a_i при $|B(a_i)| = 4$

IV. МЕТОД РАСЩЕПЛЕНИЯ ВНУТРЕННИХ СОСТОЯНИЙ КОНЕЧНЫХ АВТОМАТОВ С ЦЕЛЬЮ МИНИМИЗАЦИИ ПОТРЕБЛЯЕМОЙ МОЩНОСТИ

Прежде всего, следует отметить, что расщеплять можно только такие состояния, для которых $|B(a_i)| > 1$, где $|A|$ - мощность множества A (в рассмотренном примере $|B(a_3)|=2$).

Пусть для некоторого состояния a_i ($a_i \in A$) $|B(a_i)| = H > 1$. Состояние a_i может быть расщеплено на $2, \dots, H$ состояний. В первом случае множество $B(a_i)$ разбивается на две группы состояний, а в последнем случае множество $B(a_i)$ разбивается на H групп состояний, причем каждая группа состояний состоит из одного состояния, из которого ведет один или несколько переходов во вновь образованные состояния $a_{i,1}, \dots, a_{i,H}$ (рис. 2). Кроме того, каждая группа состояний $B(a_{i,h})$, h

$= \overline{2, H}$ может включать любые состояния множества $B(a_i)$. Другими словами, способы расщепления состояния a_i определяются способами разбиения множества $B(a_i)$ на непересекающиеся подмножества $B(a_{i,1}), \dots, B(a_{i,h})$, $h = \overline{2, H}$.

Предлагаемый ниже алгоритм позволяет рассматривать все возможные способы расщепления состояний и выбирать для расщепления такое сочетание групп состояний $B(a_{i,1}), \dots, B(a_{i,h})$, $h = \overline{2, H}$, которое приводит к наибольшему уменьшению потребляемой мощности конечного автомата.

Алгоритм 2 (расщепления внутренних состояний для уменьшения энергопотребления конечных автоматов).

1. Выполняется последовательный алгоритм [5] кодирования внутренних состояний конечного автомата с целью уменьшения потребляемой мощности. С помощью алгоритма 1 определяется потребляемая мощность P конечного автомата. Полагается $P^* := P, P' := P$.
2. Последовательно рассматриваются внутренние состояния $a_i, a_i \in A$, для которых $|B(a_i)| = N > 1$.
3. Рассматриваются все возможные способы разбиения множества $B(a_i)$ на непересекающиеся подмножества $B(a_{i_1}), \dots, B(a_{i_h})$ для всех $h = \overline{2, N}$.
4. Для некоторого разбиения $B(a_{i_1}), \dots, B(a_{i_h})$, полученного в пункте 3, выполняется пробное расщепление состояния a_i на состояния a_{i_1}, \dots, a_{i_h} таким образом, чтобы переходы из состояний каждого подмножества $B(a_{i_j})$ вели в состояние $a_{i_j}, j = \overline{1, h}$.
5. Для вновь образованного конечного автомата выполняется последовательный алгоритм [5] кодирования внутренних состояний конечного автомата с целью уменьшения потребляемой мощности. С помощью алгоритма 1 определяется потребляемая мощность P . Выполняется возврат к конечному автомату до расщепления состояния a_i в п.4.
6. Если $P < P'$, то полагается $P' := P$, запоминается разбиение $B(a_{i_1}), \dots, B(a_{i_h})$. Иначе перейти к п.3 для рассмотрения следующего разбиения $B(a_{i_1}), \dots, B(a_{i_h})$.
7. Пункты 2-6 выполняются для всех состояний $a_i, a_i \in A$.
8. Если $P' < P^*$, то выполняется расщепление состояния a_i на состояния a_{i_1}, \dots, a_{i_h} в соответствии с разбиением $B(a_{i_1}), \dots, B(a_{i_h})$, запомненным в п.6, далее перейти к п.1. Иначе перейти к п.9.
9. Конец.

Отметим, что для улучшения результатов кодирования внутренних состояний с целью уменьшения потребляемой мощности, после выполнения алгоритма 2 может быть выполнен итерационный алгоритм кодирования внутренних состояний [4].

Несмотря на то, что рассмотренный алгоритм 2 является эвристическим, его применение связано с большим перебором при выполнении пункта 3. Поэтому для практического использования может быть рекомендован упрощенный вариант алгоритма 2. В упрощенном варианте алгоритма 2 каждое подмножество $B(a_i)$ разбивается только на два непересекающихся подмножества $B(a_{i_1})$ и $B(a_{i_2})$, причем подмножество $B(a_{i_1})$ включает только одно состояние. В качестве такого состояния в подмножество $B(a_{i_1})$ выбирается состояние, для которого вероятность перехода в состояние a_i максимальна. С учетом вышеизложенного в упрощенном варианте алгоритма 2 пункт 3 выглядит следующим образом:

- 3'. Множество $B(a_i)$ разбивается на два непересекающихся подмножества $B(a_{i_1})$ и $B(a_{i_2})$. Для этого в множестве $B(a_i)$ находится состояние a_j такое, что

$$P(a_j \rightarrow a_i) = \max; \text{полагается } B(a_{i_1}) := \{a_j\}, B(a_{i_2}) := B(a_i) \setminus \{a_j\}.$$

Назовем упрощенный таким образом вариант алгоритма 2 алгоритмом 3.

V. РЕЗУЛЬТАТЫ ЭКСПЕРИМЕНТАЛЬНЫХ ИССЛЕДОВАНИЙ

Для оценки эффективности предлагаемого метода использованы эталонные примеры конечных автоматов, разработанные в центре MCNC [12]. С помощью алгоритмов 2 и 3 исследовано 33 эталонных примера конечных автоматов. Для 24 примеров или в 73% случаев применение алгоритмов 2 и 3 позволило снизить энергопотребление автоматов. Результаты экспериментальных исследований для 24 примеров приведены в табл. 1, где FSM – название эталонного примера; M и Q – число внутренних состояний и число переходов исходного конечного автомата; P – потребляемая мощность исходного конечного автомата (в микроваттах); P_3 – потребляемая мощность конечного автомата после применения упрощенного алгоритма 3; $\Delta P_3\%$ – изменение мощности (в процентах) конечного автомата после применения алгоритма 3; P_2 и $\Delta P_2\%$ – аналогичные параметры для алгоритма 2; mid – среднеарифметическое значение параметра.

Таблица 1

Результаты экспериментальных исследований

| FSM | M | Q | P | P_3 | $\Delta P_3\%$ | P_2 | $\Delta P_2\%$ |
|---------|----|-----|--------|--------|----------------|--------|----------------|
| bbara | 10 | 60 | 52,39 | 51,72 | 1,28 | 51,71 | 1,30 |
| bbsse | 16 | 56 | 146,47 | 144,48 | 1,36 | 144,48 | 1,36 |
| cse | 16 | 91 | 44,97 | 44,67 | 0,67 | 44,67 | 0,67 |
| dk14 | 7 | 56 | 223,65 | 204,25 | 8,67 | 203,52 | 9,00 |
| dk15 | 4 | 32 | 159,46 | 154,81 | 2,91 | 154,81 | 2,91 |
| dk16 | 27 | 108 | 303,95 | 291,87 | 3,97 | 291,20 | 4,19 |
| dk17 | 8 | 32 | 194,98 | 187,80 | 3,68 | 187,80 | 3,68 |
| dk27 | 7 | 14 | 223,21 | 218,75 | 2,00 | 218,75 | 2,00 |
| donfile | 24 | 96 | 222,66 | 208,98 | 6,14 | 208,98 | 6,14 |
| ex1 | 20 | 138 | 138,68 | 117,35 | 15,38 | 117,35 | 15,38 |
| ex4 | 14 | 21 | 91,97 | 90,01 | 2,12 | 90,01 | 2,12 |
| ex6 | 8 | 34 | 199,22 | 188,56 | 5,35 | 188,13 | 5,57 |
| keyb | 19 | 170 | 104,35 | 104,32 | 0,03 | 104,32 | 0,03 |
| mark1 | 15 | 22 | 178,29 | 172,27 | 3,37 | 172,27 | 3,37 |
| opus | 10 | 22 | 133,28 | 132,75 | 0,47 | 132,27 | 0,47 |
| planet | 48 | 115 | 216,87 | 207,32 | 4,41 | 207,32 | 4,41 |
| pma | 24 | 73 | 104,41 | 93,06 | 10,87 | 93,06 | 10,87 |
| s1 | 20 | 107 | 200,38 | 197,76 | 1,31 | 196,65 | 1,86 |
| s27 | 6 | 34 | 168,33 | 165,18 | 1,87 | 165,18 | 1,87 |
| s386 | 13 | 64 | 145,50 | 145,29 | 0,14 | 145,29 | 0,14 |
| sand | 32 | 184 | 116,29 | 106,20 | 8,68 | 106,20 | 8,68 |
| shifreg | 8 | 16 | 210,94 | 199,22 | 5,56 | 199,22 | 5,56 |
| sse | 16 | 56 | 146,47 | 145,50 | 0,66 | 144,48 | 1,36 |
| tma | 20 | 44 | 65,25 | 12,38 | 81,02 | 12,38 | 81,02 |
| mid | | | | | 7,16 | | 7,25 |

Анализ табл. 1 показывает, что использование алгоритма 3 позволяет, в среднем, уменьшить энергопотребление конечных автоматов на 7,16%, а для отдельных примеров – на 81,02% (пример tma). В то же время применение алгоритма 2, по сравнению с алгоритмом 3, позволило незначительно снизить потребляемую мощность (от 0,22% до 0,70%) для 6 примеров конеч-

ных автоматов. Среднее снижение потребляемой мощности при этом составляет 7,25%. Поэтому для практического использования можно рекомендовать упрощенный алгоритм 3, который позволяет получить результаты близкие к алгоритму 2, однако требует значительно меньше количество вычислений, по сравнению с алгоритмом 2.

Таким образом, даже упрощенный вариант предложенного подхода (алгоритм 3) расщепления внутренних состояний с целью снижения потребляемой мощности конечных автоматов показал свою достаточно высокую эффективность в 73% случаев. При этом среднее снижение энергопотребления составляет 7,16%, а для отдельных примеров – 81,02%.

VI. ЗАКЛЮЧЕНИЕ

Рассмотрен подход снижения потребляемой мощности конечных автоматов путем использования операции расщепления внутренних состояний. Показано, что снижение энергопотребления осуществляется за счет увеличения возможностей для кодирования внутренних состояний с целью снижения потребляемой мощности. Предложены два эвристических алгоритма уменьшения энергопотребления конечных автоматов путем расщепления внутренних состояний: большой (алгоритм 2) и малой (алгоритм 3) вычислительной сложности. На основании анализа результатов экспериментальных исследований показано, что алгоритм 3 незначительно уступает алгоритму 2 по качеству получаемого решения и может быть рекомендован для практического использования.

Дальнейшее развитие данного направления уменьшения энергопотребления конечных автоматов может идти по пути использования других операций эквивалентных преобразований конечных автоматов (например, операции склеивания внутренних состояний), а также их совместного использования.

ПОДДЕРЖКА

Работа выполнена при частичной финансовой поддержке Белостокского технологического университета (Польша), грант № S/WI/1/2013.

ЛИТЕРАТУРА

- [1] Benini L., De Micheli G. State assignment for low power dissipation // *IEEE Journal on Solid-State Circuits*. 1995. V. 30. № 3. P. 259-268.
- [2] Tsui C.-Y., Pedram M., Despain A.M. Low power state assignment targeting two and multilevel logic implementations // *IEEE Transactions on Computer Aided Design of Integrated Circuits and Systems*. 1998. V. 17. № 12. P. 1281–1291.
- [3] Shiue W.-T. Novel state minimization and state assignment in finite state machine design for low-power portable device // *Integration, the VLSI Journal*. 2005. V. 38. № 3. P. 549-570.
- [4] Соловьев В.В., Гресь Т.Н. Итерационный алгоритм кодирования внутренних состояний конечных автоматов с целью минимизации потребляемой мощности // *Микроэлектроника*. 2013. Т. 42. № 3. С. 233-240.
- [5] Соловьев В.В., Гресь Т.Н. Последовательный алгоритм кодирования внутренних состояний конечных автоматов для минимизации потребляемой мощности // *Изв. Российской академии наук. Теория и системы управления*. 2014. № 1. С. 87-95.
- [6] Chow. S-H., Ho Y-C., Hwang T., Liu C.L. Low power realization of finite state machines – a decomposition approach // *ACM Transactions on Design Automation of Electronic Systems*. 1996. V. 1. № 3. P. 315-340.
- [7] Benini L., De Micheli G. Automatic synthesis of low power gated clock finite state machines // *IEEE Transactions on Computer Aided Design of Integrated Circuits and Systems*. 1996. V. 15. № 6. P. 630-643.
- [8] Chattopadhyay S. Low power state assignment and flip-flop selection for finite state machine synthesis – a genetic algorithmic approach // *IEE Proceedings – Computers and Digital Techniques*. 2001. V. 148. № 45. P. 147-151.
- [9] Соловьев В.В. Изменение числа разрядов кода внутренних состояний при минимизации потребляемой мощности конечных автоматов // *Радиотехника и электроника*. 2012. Т. 57. № 6. С. 705-712.
- [10] Соловьев В.В. Энергосберегающий синтез конечных автоматов на основе совмещенной структурной модели // *V Всероссийская научно-техническая конференция «Проблемы разработки перспективных микро- и наноэлектронных систем – 2012»*. Сб. трудов / под ред. академика РАН А.Л.Стемпковского. М.: ИПИМ РАН, 2012. С. 79-82.
- [11] Tsui C.-Y., Monteiro J., Devadas S., Despain A.M., Lin B. Power estimation methods for sequential logic circuits // *IEEE Transactions on VLSI Systems*. 1995. V. 3. № 3. P. 404-416.
- [12] Yang S. Logic synthesis and optimization benchmarks user guide. Version 3.0. Technical Report. North Carolina. Microelectronics Center of North Carolina. 1991. 46 p.